

بررسی اثر طرح تراش بر توزیع تنش وارد بر روکش سانترال بالا به روش المان محدود

دکتر محمد امامیه* - دکتر مانا جمالی به**

*دانشیار گروه آموزشی پروتز ثابت و اکلوزن دانشکده دندانپزشکی دانشگاه علوم پزشکی و خدمات بهداشتی، درمانی تهران
**دانشجوی دندانپزشک

Title: A Study of Stress Distribution on Four Designs of Maxillary Central Crown by Means of Finite Element Analysis

Authors: Emamieh M. Associate Professor*, Jamali-e- Beh M. Dentist

Address: *Dept. of Fixed Prosthodontics, Faculty of Dentistry, Tehran University of Medical Sciences

Abstract: During last three decade, the use of finite element method have received a keen interest through dental scientists and investigators especially orthodontics, prosthodontics, and restorative dentistry. The purpose of this study was to compare shear stress distribution in four designs of maxillary central ceramometal crown. Four different models of maxillary central crown were designed. Models were divided into 51 elements, which made 61 nodes. A load of 200 N was applied at two angles of 45° and 20° Supper Sap software was used for analyzing the shear stress distribution. The results indicated that higher shear stress was developed in the cervical area compared to incisal edge and middle portion of crowns. Also results of this study showed that distribution of shear stress in the cervical portion of the 135-shoulder preparation is milder than other finish lines preparation.

Key words: Finite element- Ceramometal crown- Finish line preparation

Journal of Dentistry, Tehran University of Medical Sciences (Vol. 13, No:2, 2000)

چکیده

در طول سه دهه اخیر روش المان محدود در تحقیقات دندانپزشکی بخصوص در رشته‌هایی مانند ارتدنسی، ایمپلنت، پروتز پارسیل، ترمیمی و پروتز ثابت جایگاه ویژه‌ای یافته است. هدف از این مطالعه بررسی توزیع تنش برپشی (Shear Stress) روکش سرامومتال دندان سانترال بالا که با تراشهای مختلف شولدر بول، چمفر، شولدر و شولدر ۱۳۵ درجه طراحی شده بودند، به روش المان محدود بود. به همین منظور چهار مدل روکش دندان سانترال بالا طراحی گردید. مدل‌ها به ۵۱ المان به نحوی تقسیم شدند که ۶۱ گره را تشکیل دادند. نیروی ۲۰۰ نیوتن با دو راستای ۴۵ و ۲۰ درجه نسبت به محور طولی دندان اعمال گردید و از نرم‌افزار Supper Sap جهت تحلیل تنش استفاده گردید. نتایج به دست آمده نشان داد که در هر چهار تراش، المان‌های پرسلنی ناحیه طوق تنش بیشتری را در مقایسه با لبه انسیزالی و قسمت میانی روکش تحمل می‌کنند؛ همچنین تنش برپشی در بیشتر المان‌های پرسلنی ناحیه لینگوال از المان‌های باکالی بیشتر است. با بررسی یافته‌ها می‌توان نتیجه گرفت که توزیع تنش در تراش شولدر ۱۳۵ درجه، بخصوص در ناحیه طوق، مناسبتر از سایر تراشهای است.

کلید واژه‌ها: المان محدود- روکش سرامومتال- خط خاتمه تراش

مجله دندانپزشکی دانشگاه علوم پزشکی و خدمات بهداشتی، درمانی تهران (دوره ۱۳، شماره دوم، سال ۱۳۷۹)

مقدمه

هدف از این مطالعه بررسی توزیع تنش برشی در چهار نوع طرح تراش شولدر بول، شولدر، چمفر و شولدر ۱۲۵ درجه در روکش سرامومتال سانترال بالا با استفاده از آنالیز المان محدود است.

روش بررسی

با درنظرگرفتن ملاحظات آناتومیک که در کتب و مقالات مرجع ذکر شده است (۱۱,۱۰,۹) مدل دندان سانترال بالا توسط رایانه طراحی شد. جدول شماره ۱ مشخصات درنظر گرفته شده را نشان می‌دهد.

جدول شماره ۱- مشخصات آناتومیک دندان سانترال بالا

اندازه (میلی‌متر)	مشخص آناتومیک
۱۰/۵	طول تاج
۱۳	طول ریشه
۸/۵	عرض مزبودیستال تاج
۷	عرض مزبودیستال تاج در ناحیه طوق
۷	عرض لبیولینگوال تاج
۶	عرض لبیولینگوال تاج در ناحیه طوق
۲/۵	انحنای طوق در مزیال
۲/۵	انحنای طوق در دیستال
۶/۴	پهنهای ریشه در طوق
۶/۴	قصیر لبیولینگوال ریشه در طوق

در این بررسی ضخامت لیگامان پریوتدت برابر $۰/۰\pm ۰/۲۵$ در نظر گرفته شد (۱۲,۱۳,۱۴). با در نظر گرفتن Porcelain Fused to Metal (PFM) و طرح تراشهای مختلف شولدر پرسلن Full Facial Porcelain (FFP) شولدر ۱۲۵ درجه (۱۵۶) طراحی این چهار نوع تراش بر روی مدل دندان انجام شد. در این بررسی فلز کپینگ از آلیاز پالادیوم- نقره انتخاب شد. ضرایب پواسون و مدول

بررسی تنش و توزیع آن در مواد همواره از روش‌های ساده امکان‌پذیر نیست. در بیشتر موارد تحلیل تنش نیز به دلیل شکل و طراحی جسم، ترکیبات و ناهنجنس‌بودن قسمت‌های مختلف آن و همچنین پیچیدگی جهات اعمال نیرو، به آسانی مقدور نیست. روش المان محدود با استفاده از رایانه امکان انجام محاسبات پیچیده ریاضی جهت تحلیل نیروها و تنش ایجادشده را فراهم می‌سازد. مزایای استفاده از این روش عبارتند از:

۱- امکان بررسی اشکال نامنظم و پیچیده (۱)

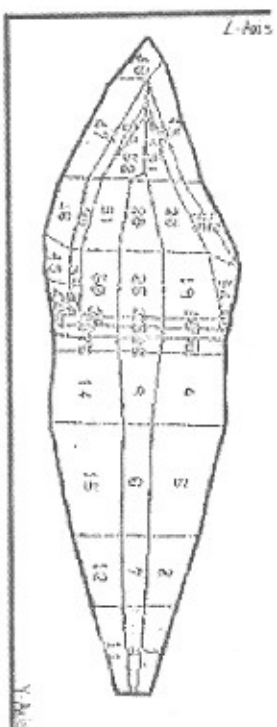
۲- عدم محدودیت در بکارگیری اندازه مشخصی از اجزا (۲)

۳- سهولت بررسی مواد غیرهموژن و غیرمتجانس

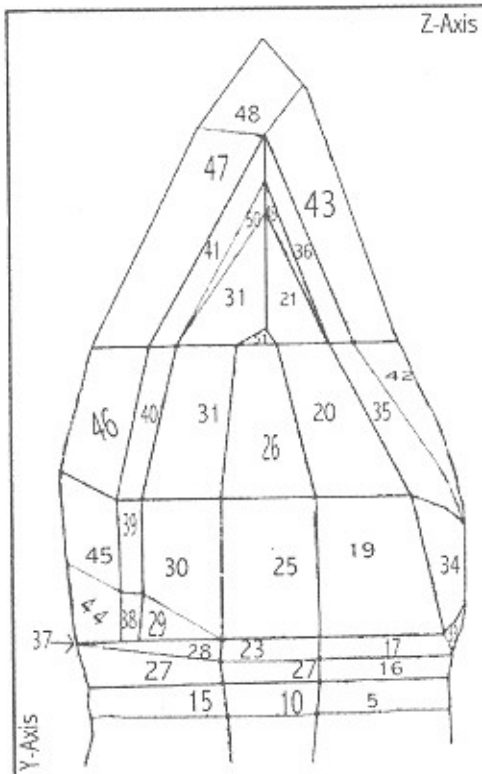
۴- بررسی دقیق تنش‌های به وجود آمده (۳,۴)

۵- بدون خطربودن و هزینه پایین آن

مطالعات زیادی جهت یافتن بهترین طرح تراش در روکش‌های دندانی انجام شده است. مطالعه Anusavice و همکاران نشان داد که در انواع مختلف کراون با ضخامت‌های مختلف کپینگ (Copping) و نیز استفاده از آلیاز‌های مختلف تفاوت عمدی در میزان تنش ایجادشده مشاهده نمی‌شود (۵). مطالعه Ebrashi و همکاران با روش فتوالاستیک نشان داد شولدر با زاویه گردشده و چمفر حداکثر تمرکز تنش را دارند و شولدر بول و Knife-Edge Faucher و همکاران در سال ۱۹۸۰ اعوجاج (Distortion) سه نوع تراش شولدر، شولدر بول و چمفر روکشهای PFM را بررسی کردند و یادآور شدند که شولدر و شولدر بول تغییر شکل مارجین کمتری نسبت به چمفر دارند (۶).



تصویر شماره ۱- نمای کلی المان بندی دندان



تصویر شماره ۲- المان بندی تاج در تراش شولدر

الاستیک قسمتهای مختلف کراون، دندان، استخوان آلوئول و لیگامان پریودنت که برای آنالیز المان محدود لازم است با توجه به کتب مرجع و مقالات مختلف، انتخاب و اطلاعات مذکور وارد رایانه شد (۱۵، ۱۶، ۱۷). جدول شماره ۲ این اطلاعات را نشان می‌دهد.

جدول شماره ۲- خصوصیات مکانیکی مواد

ضریب پواسون	مدول الاستیسیته (مگاپاسکال)	نوع ماده
۰/۲۸	$۶/۹ \times 10^4$	پرسلن
۰/۲۸	$۶/۹ \times 10^3$	(Opaque)
۰/۳	$۰/۹۷-۱/۱۷ \times 10^5$	کپینگ
۰/۳۱	$۱/۸۶ \times 10^4$	عاج
۰/۴۵	$۶/۸۹ \times 10^3$	لیگامان پریودنت
۰/۳	۴×10^4	استخوان آلوئولار

بعد از تکمیل طراحی، هر یک از مدل‌ها به ۵۱ المان چهارگوش تقسیم شدند به نحوی که ۶۱ گره را تشکیل دادند. شرایط این بررسی به صورت دوبعدی تعیین گردید.

تصویر شماره ۱ نمای کلی المان بندی دندان و تصویر شماره ۲ المان بندی تاج در تراش شولدر پرسلن را نمایش می‌دهد. وضعیت المان بندی در تمام تراشهای به صورت مشابه در نظر گرفته شد.

در این مطالعه ابتدا توزیع تنش برشی در حالت واردشدن نیروی ۲۰۰ نیوتون با زاویه ۴۵ درجه نسبت به محور طولی دندان به $\frac{1}{2}$ لبه انسیزالی سطح لینگوال دندان بررسی گردید (بارگذاری اول): سپس راستا و محل اعمال نیرو به صورت زاویه ۲۰ درجه نسبت به محور طولی دندان به لبه انسیزال از سمت لینگوال تغییر داده شد (بارگذاری دوم) و توزیع تنش بررسی شد.

بول بیشترین تنش در ناحیه طوق فلزی باکال کراون ایجاد شد. در تراشهای چمفر و شولدر ۱۳۵ درجه تنش ایجادشده در ناحیه طوق فلزی باکال اختلاف بسیار کمی با بیشترین میزان تنش که در لبه انسیزال ایجاد شده بود، داشت.

جدولهای شماره ۳ و ۴ میزان تنش ایجاد شده در نواحی طوق باکال (قسمت فلزی و پرسلن)، طوق لینگوال و لبه انسیزال را به ترتیب در بارگذاری اول و دوم نشان می‌دهد.

با نگاه کلی به نتایج و الگوی تنش ایجادشده می‌توان دریافت که تمرکز تنش در تمامی تراشهای در بارگذاری اول در نواحی لینگوال کپینگ و سپس ناحیه طوق باکال کپینگ و پرسلن بود؛ در حالی که در بارگذاری دوم بیشترین میزان تنش به ترتیب در نواحی لبه انسیزال کراون (پرسلن)، طوق باکال، طوق لینگوال و لبه انسیزال کپینگ بود. تمرکز تنش در تراش FFP به صورتی بود که بیشترین تنش در ناحیه طوق باکال در قسمت شولدر پرسلن و سپس در لبه انسیزال ایجاد می‌شد.

جدول شماره ۳- تنش ایجاد شده به دنبال اعمال نیروی با زاویه ۲۰ درجه با محور طولی دندان در لبه انسیزال (بارگذاری اول)

نوع تراش	طوق باکال پرسلن	طوق باکال فلز	طوق لینگوال	لبه انسیزال
شولدر(FFP)	۱۶/۹۶۳۵	۱۱۱/۷۶	۲۲/۱۳	۲۵/۳۱۱
شولدر بول	۱۷/۲۹۷۵	۲۹/۷۳۵	۱۷/۴۱۵	۲۵/۴۲۸۵
چمفر	۱۷/۳۴۸۵	۲۰/۵۱۷	۱۹/۸۷۱۵	۲۵/۴۲۹
شولدر ۱۳۵	۱۸/۹۱۵۵	۲۱/۰۱۷	۱۸/۶۴۲	۲۵/۴۲۵

جدول شماره ۴- تنش ایجاد شده به دنبال اعمال نیروی با زاویه ۴۵ درجه در ۱/۳ با محور طولی دندان در لبه انسیزال (بارگذاری دوم)

نوع تراش	طوق باکال پرسلن	طوق باکال فلز	طوق لینگوال	لبه انسیزال
شولدر(FFP)	۱۴/۵۴۲	۱۰۱/۹۲۵	۳۶/۳۲۵	۳/۷۶۸
شولدر بول	۱۷/۰۹۹	۳۰/۱۶۵	۳۲/۳۰۷	۳/۷۷۵
چمفر	۱۶/۸۷۷	۲۰/۷۳۹۵	۳۴/۲۶	۲/۷۷۳۵
شولدر ۱۳۵	۱۸/۳۲۸۵	۲۲/۵۵۶۵	۳۳/۱۸	۲/۷۵۷۵

جهت تجزیه و تحلیل (آنالیز) تنش برشی از نرمافزار Supper Sap استفاده شد.

یافته‌ها

در همه تراشهای کمترین میزان تنش در ناحیه آپکس (Apex) ملاحظه شد. در طول ریشه با نزدیک شدن به طوق به طور نسبی میزان تنش برشی افزایش یافت. نتایج به دست آمده نشان داد که میزان تنش در ریشه در قسمت لینگوال کمتر از میزان تنش ایجادشده در سمت باکال بوده است.

توزیع تنش در سه تراش چمفر، شولدر بول و شولدر ۱۳۵ درجه مشابه هم بود و حداقل تنش در بارگذاری اول در ناحیه طوق لینگوال ایجاد شد. در تراش شولدر پرسلن در هر دو بارگذاری بیشترین حد تنش در ناحیه طوق لبیالی در قسمت پرسلن ناحیه شولدر ایجاد شد. در بارگذاری دوم در تراشهای چمفر و شولدر ۱۳۵ درجه بیشترین تنش در لبه انسیزال کراون به وجود آمد؛ در حالی که در تراش شولدر انسیزال کراون به وجود آمد؛ در حالی که در تراش شولدر

کششی اندکی ($2/6$ مگاپاسکال) در پرسلن باکالی ایجاد شد. با افزایش زاویه از صفر به 30° درجه تنש کششی در محل اتصال دندان و کپینگ برابر $3/16$ مگاپاسکال بود که خطر از بین رفتن Integrity سمان را به دنبال دارد (۱۷).

در سال ۱۹۸۶ Anusavice و همکاران از روش المان محدود جهت مقایسه توزیع تنش بر روی طرحهای مختلف روکش ساترال بالا استفاده کردند (۵). کپینگ با ضخامت $1/3$ تا $0/0$ مورد بررسی قرار گرفت و آلیاژهای انتخاب شده، طلا- پالادیوم و نیکل- کروم بود. این مطالعه تأثیر ضخامت کپینگ و اثر مذول الاستیسیته آلیاژ را در توزیع تنش مورد بررسی قرار داد.

بررسی توزیع تنش در شرایطی انجام شد که نیروی 200 نیوتن در جهت محور طولی دندان اعمال گردید. نتایج حاکی از این بود که تنش کششی، فشاری و برشی در تمام موارد از میزان مجاز برای پرسلن کمتر بود. در مطالعه حاضر نیز تنش برشی ایجاد شده در کپینگ، اپک و پرسلن از مقاومت برشی این مواد کمتر بود و با نتایج به دست آمده از بررسی Anusavice و همکاران مطابقت دارد (۵).

به طور کلی تنش برشی حاصل از بارگذاری اول بیشتر از بارگذاری دوم بود و المان‌های پرسلنی ناحیه لینگوال در هر دو بارگذاری تنش بیشتری را نسبت به المان‌های پرسلنی ناحیه باکال متحمل شدند؛ همچنین المان‌های پرسلنی ناحیه طوق تنش بیشتری را در مقایسه با لبه انسیزالی و نیمه میانی روکش تحمل کردند. همان‌طور که قبل ذکر شد، تنش ایجاد شده در این المان‌های پرسلنی از مقاومت برشی پرسلن که برابر $2/117$ مگاپاسکال است، کمتر بود.

بیشترین تنش ایجاد شده در سمان در بارگذاری اول در تراشهای چمفر و شولدر 135 درجه در ناحیه طوق لینگوال به وجود آمد. میزان تنش ایجاد شده در ناحیه طوق باکال اختلاف کمی با ناحیه لینگوال داشت؛ در حالی که بیشترین تنش در تراش شولدر بول و شولدر پرسلن در ناحیه طوق باکال بود. در این تراش تنش ایجاد شده در ناحیه طوق لینگوال رتبه بعد از طوق باکال را داشت. در بارگذاری دوم بیشترین تنش در تمامی تراشهای در ناحیه طوق باکال ایجاد شد. در همه تراشهای به جز FFP ناحیه بعدی که بیشترین تنش را تحمل می‌کرد، لبه انسیزال بود؛ این در حالی است که بیشترین تنش بعد از طوق باکال، طوق لینگوال برای تراش FFP بود.

بحث

بر اساس نتایج به دست آمده ملاحظه می‌شود که مقدار تنش ایجاد شده در بارگذاری اول بیشتر از بارگذاری دوم است و المان‌های باکالی در مجموع بیشتر از المان‌های لینگوالی دچار تنش می‌شوند؛ همچنین در بارگذاری اول المان‌های عاجی نیمه انسیزالی دچار تنش بیشتری شدند؛ در حالی که در بارگذاری دوم المان‌های عاجی نیمه ژنتیوالی متحمل تنش بیشتری شدند.

در سال ۱۹۷۵ Farah و Craig و با روش المان محدود به طریق دوبعدی، توزیع تنش در انواع مختلف کراون ساترال بالا را مورد بررسی قرار دادند (۱۷). ضخامت کپینگ انتخابی آنها $0/5-0/3$ میلی‌متر بود و از آلیاژهای طلا و نیکل- کروم ساخته شده بود. با اعمال نیروی 445 نیوتن با زاویه صفر درجه نسبت به محور طولی دندان تنش

پرسنل می‌باشد. در مجموع، توزیع تنش برشی به ترتیب در تراشهای شولدر ۱۳۵ درجه و چمفر مناسب‌تر بود.

تشکر و قدردانی

بدین وسیله از سرکار خانم دکتر فرزانه آقاجانی که در تنظیم این مقاله همکاری نموده‌اند، تشکر می‌گردد.

مقایسه توزیع تنش در چهار نوع کراون سانترال بالا با استفاده از روش المان محدود به طریق دو بعدی نشان می‌دهد که میزان تنش در طوق ناحیه لینگوال به ترتیب در تراشهای شولدر بول، شولدر ۱۳۵ درجه، چمفر و شولدر پرسنل افزایش می‌باید ولی این ترتیب در طوق ناحیه باکال به صورت شولدر ۱۳۵ درجه، چمفر، شولدر بول و شولدر

منابع:

- 1- Stasta FL. Applied Finite Element Analysis for Engineering. Japan: C.B.C. Ltd; 1986: 1-18.
- 2- Asgar k. Restorative Dental Materials. 8th ed. St. Louis: Mosby; 1989: 65-86, 486-487, 499-502.
- 3- Pao YC, Reinhardt RA, Krejci RF. Root stresses with tapered- end post design in periodontally compromised teeth. J Prosthet Dent 1987; 57(3): 281-286.
- 4- Cook SD, Weinstein AM, Klawitter JJ. A three-dimentional finite element analysis of a porous rooted Co-Cr- Mo alloy dental implant. J Dent Res 1982; 61(1): 25-29.
- 5- Anusavice KJ, Houatie B, Dehoff PH. Influence of metal thickness on stress distribution in metal ceramic crowns. J Dent Res 1986; 65(9): 1173-78.
- 6- el-Ebrashi MK, Craig RG, Peyton FA. Experimental stress analysis of dental restorations. VII. Structural design and stress analysis of fixed partial dentures. J Prosthet Dent 1970 Feb; 23(2): 177-86.
- 7- Craig RG, el- Ebrashi MK, Peyton FA. Experimental stress analysis of dental restorations. I. Two- dimensional photoelastic stress analysis of crowns. J Prosthet Dent 1967 Mar; 17(3): 292-302.
- 8- Faucher RR, Nichollos TL. Distortion related to margin design in PFM. restoration. J Prosthet Dent 1980; 43(2): 149-55.
- 9- Tylman SD, Malone WFD. Theory and Practice of Fixed Prosthodontics. 7th ed. St. Louis: Mosby; 1978: 150-56.
- 10- Brand RW, Isselhard DE. Anatomy of Orofacial Structures. St. Louis: Mosby; 1986: 304-11.
- 11- Dunn MJ, Zionshapiro C. Dental Anatomy, Head and Neck Anatomy. Baltimore: Williams & Wilkins; 1975: 8-11.
- 12- Fuller J, Denehy GE. Concise Dental Anatomy and Morphology. Chicago: Year book Medical Pub; 1997: 77-84.
- 13- Kraus BS, Jordan RE, Abrams L. A Study of Masticatory System, Dental Anatomy and Occlusion. Baltimore: Williams & Wilkins; 1986: 5-22.
- 14- Grand DK, Stern IB, Listgarten MA. Periodontics. 6th ed. St. Louis: Mosby; 1988: 61-65.
- 15- Gavelis JR, Morency JD, Riley ED, Sozio RB. The effect of various finish line preparations on the marginal seal and occlusal seat of full crown preparation. J Prosthet Dent 1981; 45(2): 138-45.
- 16- Thayer KE. Fixed Prosthodontic. Chicago: Year book Medical Pub; 1984: 53-57.
- 17- Farah JW, Craig RG. Distribution of stresses in Porcelain- Fused- to- Metal and Porcelain Jacket crowns. J Dent Res 1975; 54(2): 255-61.